



Run Number: 182796,  
Event Number: 74566644  
Date: 2011-05-30, 06:54:29 CET

EtCut>0.3 GeV  
Pt<sub>T</sub>>2.0 GeV  
Vertex Cut  
Z direction <1cm  
Rphi <1cm

Muon: b  
Electron: Black  
Cells: Tiles, EMC

# Proprietà di spin-CP del candidato bosone di Higgs nel canale $H \rightarrow ZZ^{(*)} \rightarrow 4\ell$ nell'esperimento ATLAS

**Nello BRUSCINO**

Università degli Studi di Napoli “Federico II” & INFN

*on behalf of the MEGA group:*

N. Bruscino, F. Cirotto, F. Conventi, C. Dionisi, S. Giagu, G. Gustavino,  
V. Ippolito, C. Maiani, M. Rescigno, E. Rossi + ANL/UC Chicago



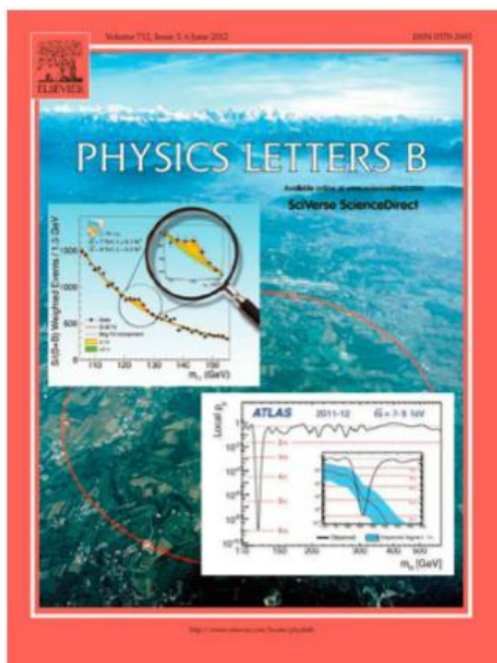
13 Settembre, 2013



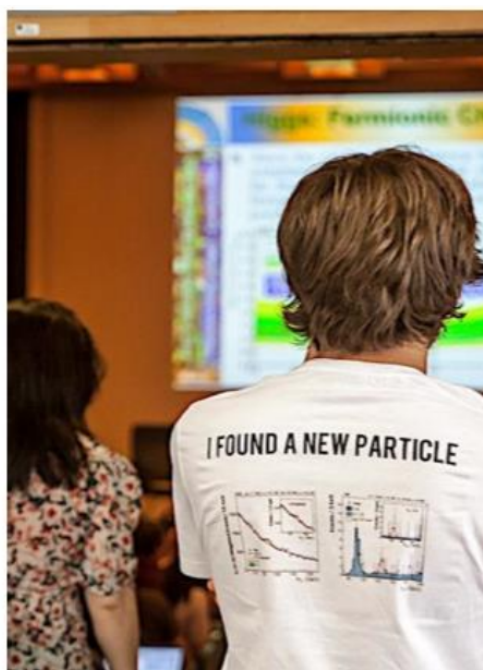


# Il bosone di Higgs

Scoperta – 04/07/2012



Phys. Lett. B 716 (2012) 1-29 (ATLAS)

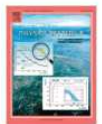


Phys. Lett. B 716 (2012) 30-61 (CMS)



Physics Letters B

Volume 716, Issue 1, 17 September 2012, Pages 1–29



Observation of a new particle in the search for the Standard Model  
Higgs boson with the ATLAS detector at the LHC  $\star$

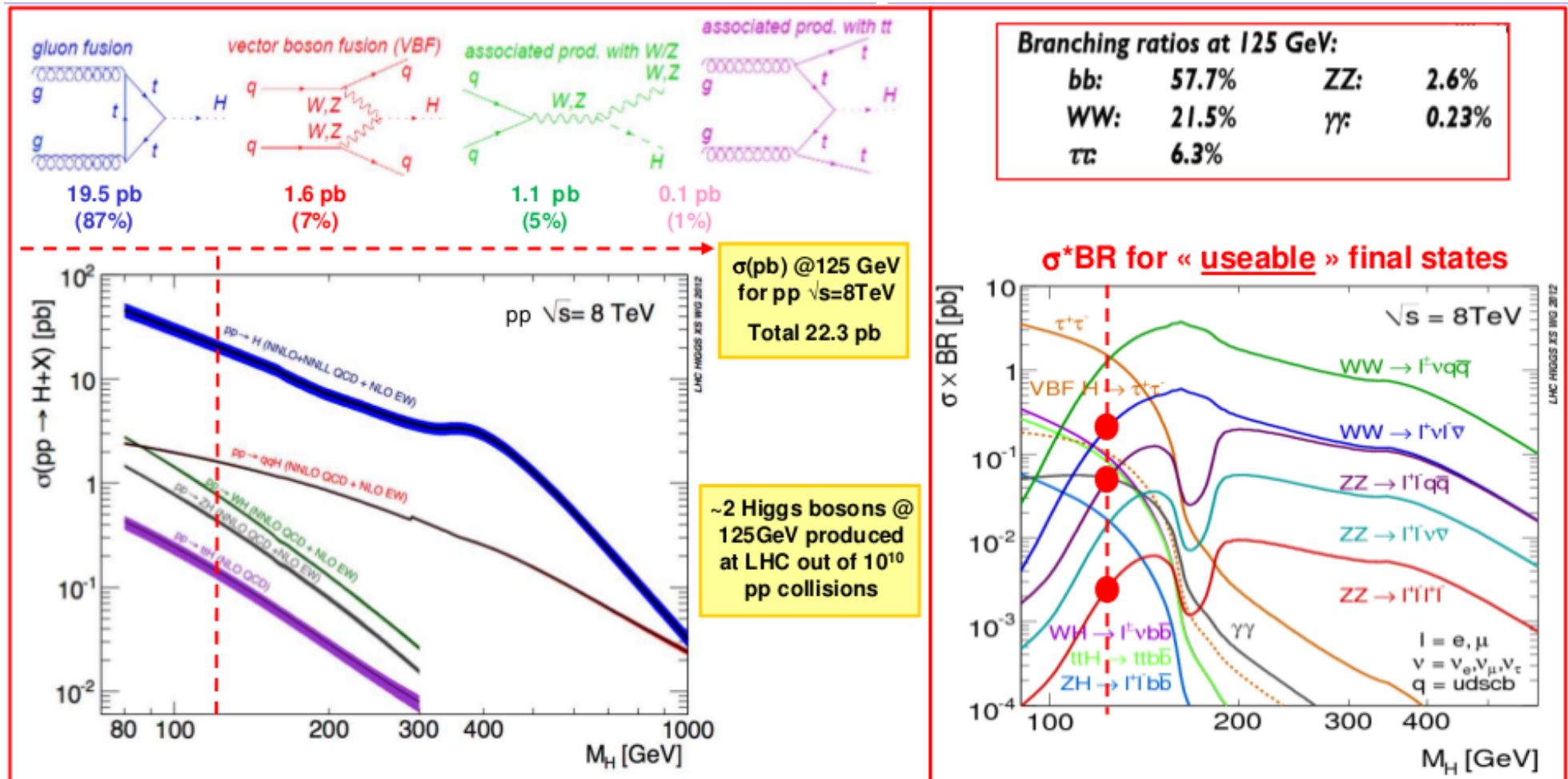
Universally Available

This paper is dedicated to the memory of our ATLAS colleagues who did not live to see the full impact and significance of their contributions to the experiment.

ATLAS Collaboration \*

# Il bosone di Higgs

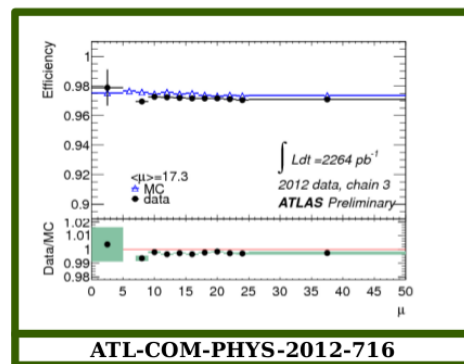
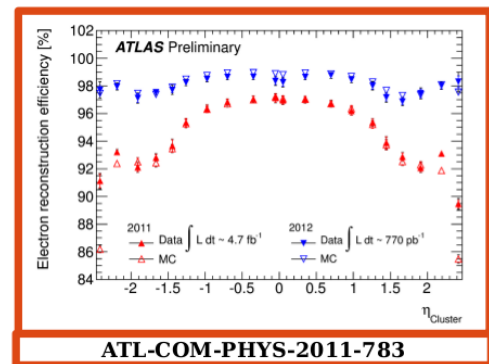
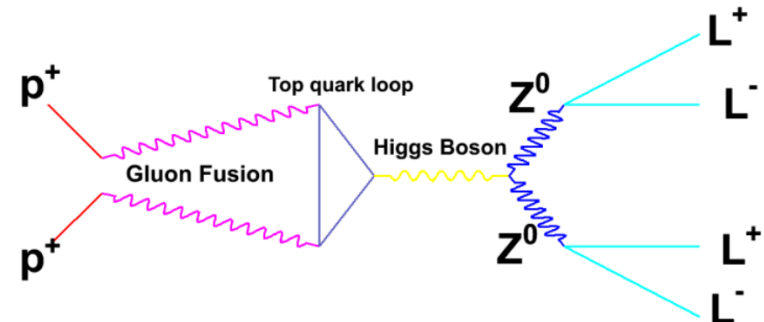
## Produzione e decadimento in LHC





# $H \rightarrow ZZ^{(*)} \rightarrow 4\ell$ : golden channel

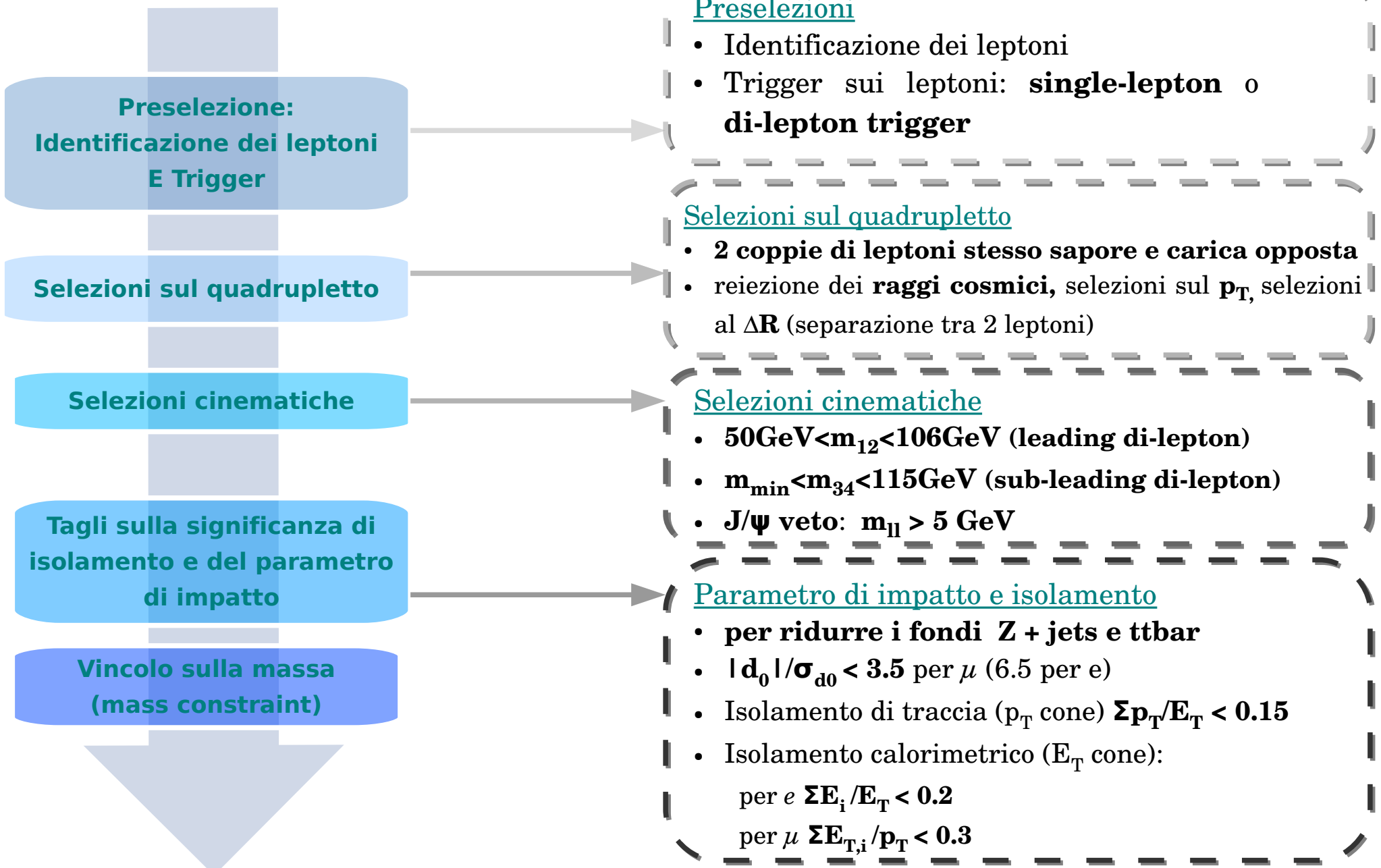
- ★ Miglior rapporto S/B (1.4)
- ★ Tracce facilmente ricostruite
- ★ Massa completamente ricostruita
- ★  $\sigma \cdot BR$  molto bassa
- ★ Richiede eccellenti performance di ricostruzione di **elettroni e muoni**



## Stima del Fondo

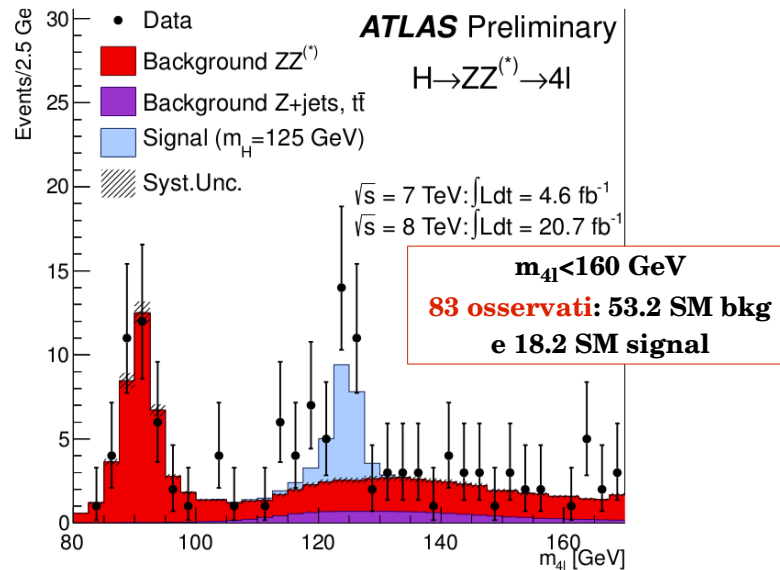
- ✗ Irriducibile: dovuto alla produzione  $ZZ^*$ , viene stimato dalle simulazioni MC normalizzate alla sezione d'urto teorica. Attesi  $7.4 \pm 0.4$  eventi con i dati raccolti (a  $\sim 25 \text{ fb}^{-1}$ )
- ✗ Riducibile:  $Z+\text{jet}$ ,  $t\bar{t}$ , valutato con metodi data-driven. Attesi  $3.74 \pm 0.93$  eventi con i dati raccolti (a  $\sim 25 \text{ fb}^{-1}$ )

# $H \rightarrow ZZ^{(*)} \rightarrow 4\ell$ : Selezione degli eventi

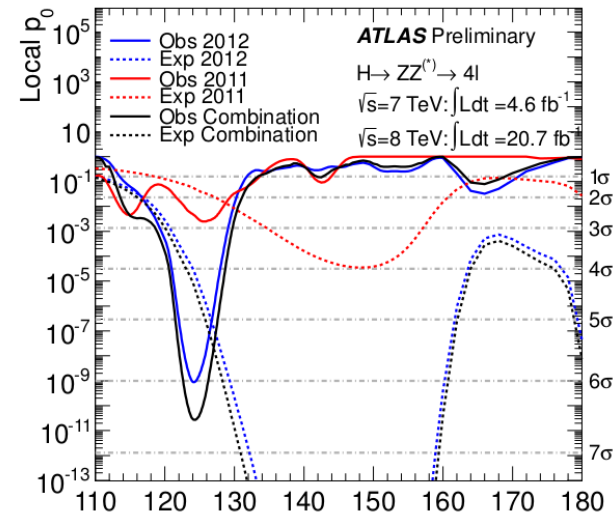


# $H \rightarrow ZZ^{(*)} \rightarrow 4\ell$ : Risultati

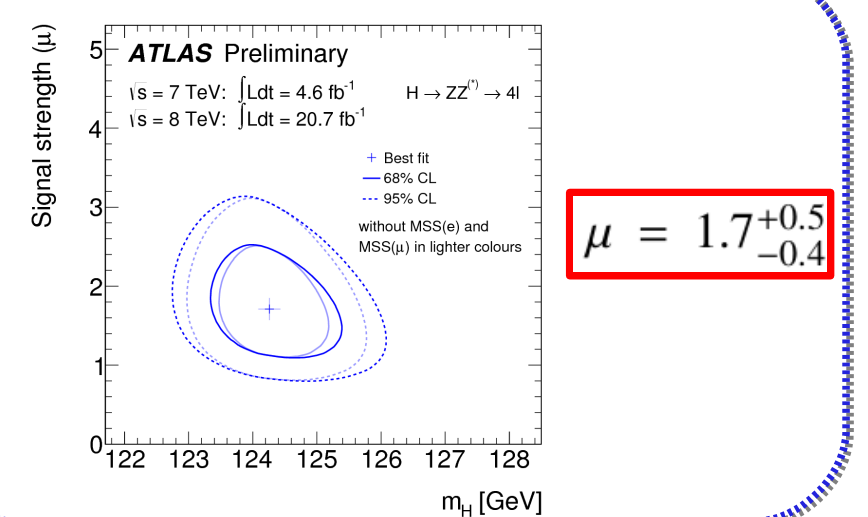
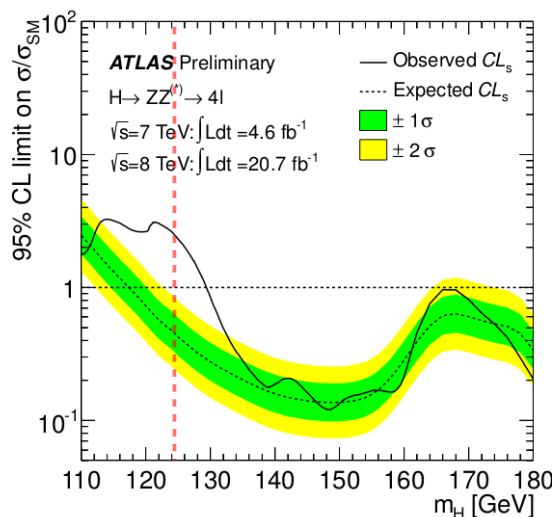
32 eventi osservati con  $11.1 \pm 1.0$  (bkg) e  $15.9 \pm 2.1$  (segnalet) previsti nel range  $125 \pm 5$  GeV



$$m_H = 124.3^{+0.6}_{-0.5} (\text{stat})^{+0.5}_{-0.3} (\text{syst}) \text{ GeV}$$



La significanza osservata è di  $6.6\sigma$

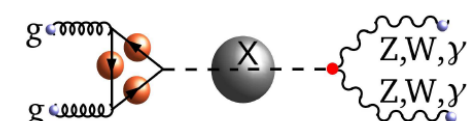


# Proprietà del bosone di Higgs

Passo successivo alla scoperta (04/07/2012) del candidato bosone di Higgs è la determinazione delle sue proprietà (spin-parità, accoppiamenti, massa, ...) per capire se si tratti di quello previsto dal Modello Standard.

Possibili stati di spin-parità ( $J^{PC}$ ) del bosone di Higgs

- ✓ decade in  $\gamma\gamma, ZZ, W^+W^- \Rightarrow$  **spin intero** ( $J=0,1,2,\dots$ )
- ✓ decade in  $\gamma\gamma \Rightarrow \cancel{J=1}$  (teorema di Landau-Yang)  
 $\Rightarrow C=+$



Il bosone Higgs Modello Standard deve essere nello stato  
spin-parità  $J^P = 0^+$

Le ipotesi alternative da verificare sono:  
 $0^-, 2^+(gg), 2^-(gg), 2^+(gg), 2^-(gg)$  + miscele  
 $1^+, 1^-$  testati per completezza

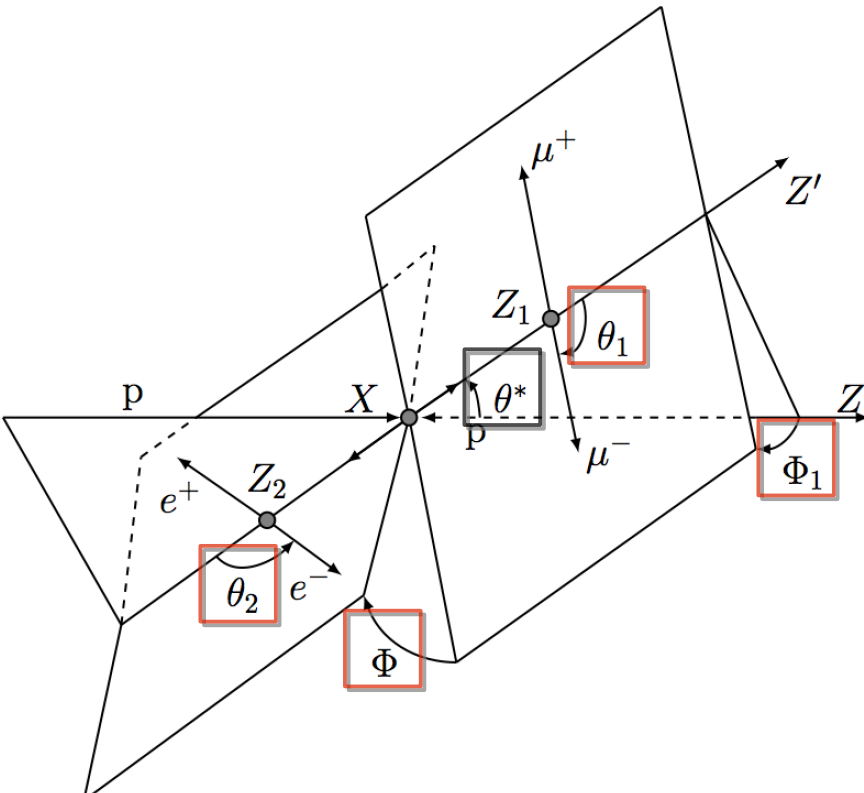
# $H \rightarrow ZZ^{(*)} \rightarrow 4\ell$ : idea della misura

Il canale  $H \rightarrow ZZ^{(*)} \rightarrow 4\ell$  permette una completa ricostruzione dello stato finale dando accesso a informazioni sulla polarizzazione della risonanza e dei bosoni  $Z$ .

Ogni ipotesi di spin-parità  
**( $JPC$ )** ha una sua peculiare  
 cinematica



ricostruzione delle distribuzioni  
 angolari per risalire alle  
 informazioni sullo spin/parità



## Osservabili sensibili:

- ✓  $m_1$ : massa invariante della  $Z$  on-shell ( $Z_1$ );
- ✓  $m_2$ : massa invariante della  $Z$  off-shell ( $Z_2$ );
- ✓  $\theta^*$ : angolo tra  $Z_1$  e l'asse dei fasci, nel sistema di riferimento di  $X$ ;
- ✓  $\varphi, \varphi_1$ : angoli azimutali tra i piani  $X, Z_1$  e  $Z_2$ , nel sistema di riferimento di  $X$ ;
- ✓  $\theta_1(\theta_2)$ : angolo tra il lepton e la direzione di volo della  $Z_1$  ( $Z_2$ ), nel sistema a riposo della rispettiva  $Z$ .

Ref: articolo di Gao

# $H \rightarrow ZZ^{(*)} \rightarrow 4\ell$ : ampiezza di decadimento

La forma più generale dell'ampiezza di una risonanza con spin 0 che decade in due bosoni  $X \rightarrow VV$  è:

$$A(H_{J=0} \rightarrow V_1 V_2) = v^{-1} \epsilon_1^{*\mu} \epsilon_2^{*\nu} \left( a_1 g_{\mu\nu} M_X^2 + a_2 q_\mu q_\nu + a_3 \epsilon_{\mu\nu\alpha\beta} q_1^\alpha q_2^\beta \right)$$

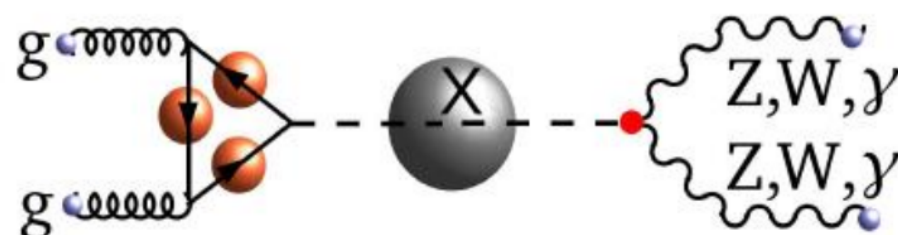
con  $a_i$  coefficienti di accoppiamento.

## Possibili scenari

- #  $a_1 \neq 0, a_2 \neq 0, a_3 = 0$
- #  $a_1 = 0, a_2 = 0, a_3 \neq 0$
- #  $a_1 \text{ o } a_2 \neq 0, a_3 \neq 0$



- # **Higgs  $0^+$**
- # **Higgs  $0^-$**
- # **Violazione di CP**





# $H \rightarrow ZZ^{(*)} \rightarrow 4\ell$ : ampiezza di decadimento

$$A(H_{J=0} \rightarrow V_1 V_2) = v^{-1} \epsilon_1^{*\mu} \epsilon_2^{*\nu} \left( a_1 g_{\mu\nu} M_X^2 + a_2 q_\mu q_\nu + a_3 \epsilon_{\mu\nu\alpha\beta} q_1^\alpha q_2^\beta \right)$$

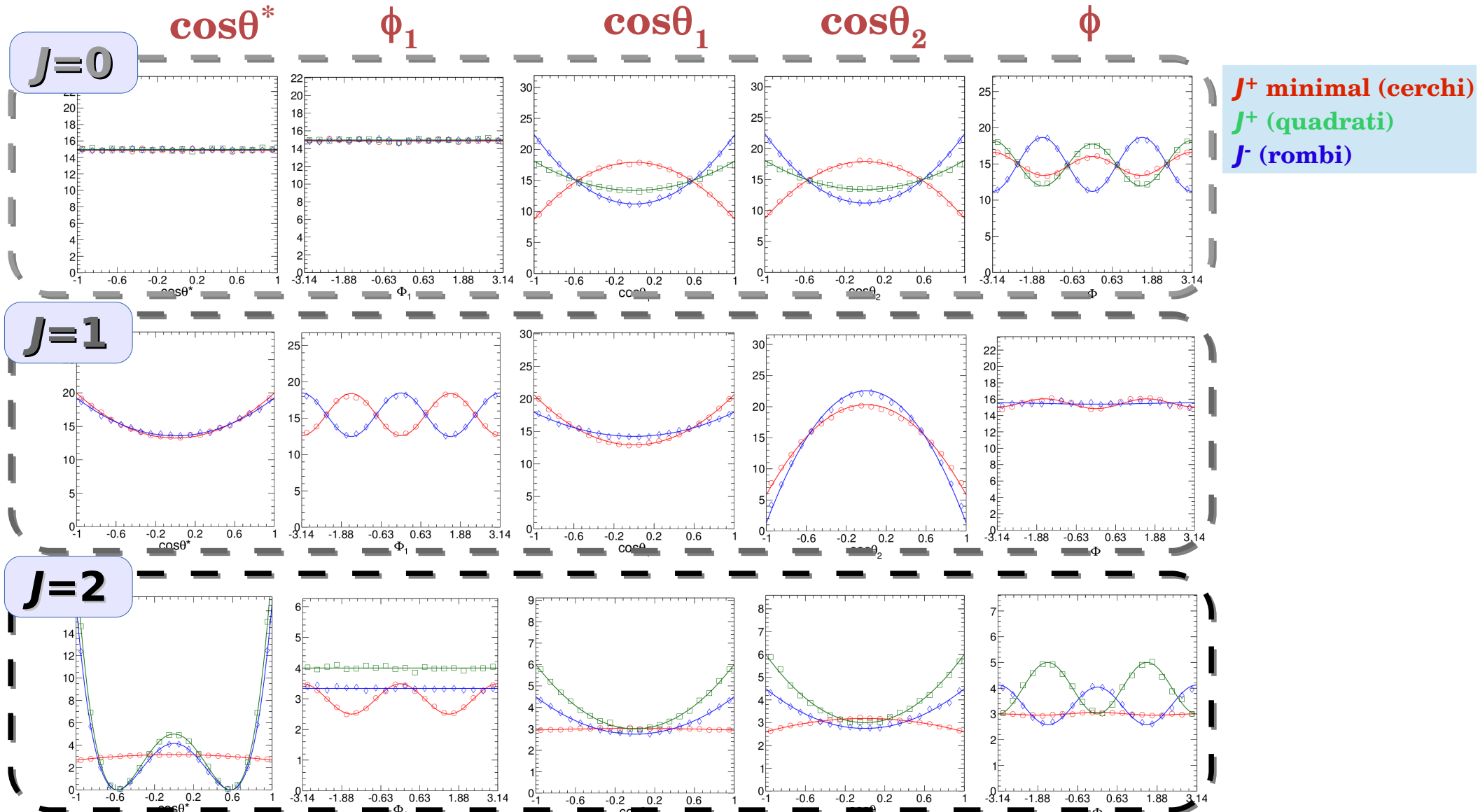
L'ampiezza può essere scritta in termini di ampiezza di elicità...

$$\begin{aligned} F_{00}^J(\theta^*) &\times \left\{ 4 f_{00} \sin^2 \theta_1 \sin^2 \theta_2 + (f_{++} + f_{--}) ((1 + \cos^2 \theta_1)(1 + \cos^2 \theta_2) + 4R_1 R_2 \cos \theta_1 \cos \theta_2) \right. \\ &- 2(f_{++} - f_{--})(R_1 \cos \theta_1 (1 + \cos^2 \theta_2) + R_2 (1 + \cos^2 \theta_1) \cos \theta_2) \\ &+ 4\sqrt{f_{++} f_{00}} (R_1 - \cos \theta_1) \sin \theta_1 (R_2 - \cos \theta_2) \sin \theta_2 \cos(\Phi + \phi_{++}) \\ &+ 4\sqrt{f_{--} f_{00}} (R_1 + \cos \theta_1) \sin \theta_1 (R_2 + \cos \theta_2) \sin \theta_2 \cos(\Phi - \phi_{--}) \\ &\left. + 2\sqrt{f_{++} f_{--}} \sin^2 \theta_1 \sin^2 \theta_2 \cos(2\Phi + \phi_{++} - \phi_{--}) \right\} \quad J_z = 0 \\ + 4F_{11}^J(\theta^*) &\times \left\{ (f_{+0} + f_{0-})(1 - \cos^2 \theta_1 \cos^2 \theta_2) - (f_{+0} - f_{0-})(R_1 \cos \theta_1 \sin^2 \theta_2 + R_2 \sin^2 \theta_1 \cos \theta_2) \right. \\ &+ 2\sqrt{f_{+0} f_{0-}} \sin \theta_1 \sin \theta_2 (R_1 R_2 - \cos \theta_1 \cos \theta_2) \cos(\Phi + \phi_{+0} - \phi_{0-}) \Big\} \quad J_z = \pm 1 \\ + (-1)^J \times 4F_{-11}^J(\theta^*) &\times \left\{ (f_{+0} + f_{0-})(R_1 R_2 + \cos \theta_1 \cos \theta_2) - (f_{+0} - f_{0-})(R_1 \cos \theta_2 + R_2 \cos \theta_1) \right. \\ &+ 2\sqrt{f_{+0} f_{0-}} \sin \theta_1 \sin \theta_2 \cos(\Phi + \phi_{+0} - \phi_{0-}) \Big\} \sin \theta_1 \sin \theta_2 \cos(2\Psi) \\ + 2F_{22}^J(\theta^*) &\times f_{+-} \left\{ (1 + \cos^2 \theta_1)(1 + \cos^2 \theta_2) - 4R_1 R_2 \cos \theta_1 \cos \theta_2 \right\} \\ + (-1)^J \times 2F_{-22}^J(\theta^*) &\times f_{+-} \sin^2 \theta_1 \sin^2 \theta_2 \cos(4\Psi) \quad J_z = \pm 2 \\ + \text{interference terms} \end{aligned}$$

[arXiv:1208.4018](https://arxiv.org/abs/1208.4018)

... e vengono usate per descrivere la cinematica dell'evento.

# $H \rightarrow ZZ^{(*)} \rightarrow 4\ell$ : osservabili sensibili



<http://arxiv.org/abs/1208.4018>

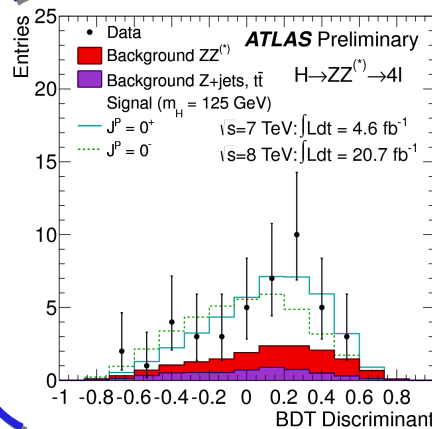
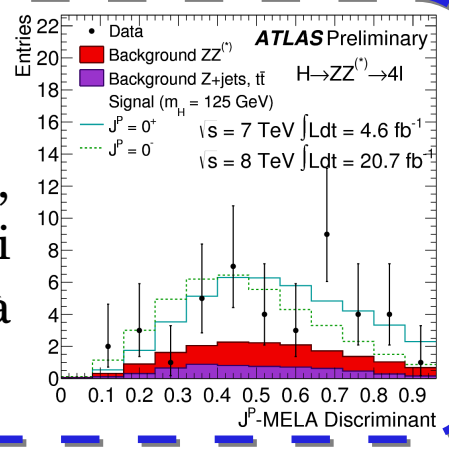
# $H \rightarrow ZZ^{(*)} \rightarrow 4\ell$ : misura di spin-parità (I)

**Approccio:** costruire un discriminante che sfrutti gli osservabili sensibili al fine di distinguere differenti casi di spin tra loro (**le ipotesi  $J^P$  vengono testate a coppia**). [ATLAS-CONF-2013-013](#)

Due tecniche indipendenti di analisi multivariata usate per l'analisi:

## $J^P$ -MELA

- Basato sul calcolo teorico dell'Elemento Matriciale
- ✓ tenendo conto degli effetti in accettanza del rivelatore, selezione dell'analisi e mispairing ( $4e, 4\mu$ ), ad ogni evento viene assegnata una probabilità  $P_{JP}(m_1, m_2, \cos\theta^*, \varphi_1, \varphi, \cos\theta_1, \cos\theta_2)$  per una data ipotesi di  $J^P$



## Boosted Decision Tree (BDT)

Allenato per ogni ipotesi di spin con simulazioni MC del segnale

- ✓ usa 5 variabili per discriminare 0+ da 0-
- ✓ Per gli altri confronti usa i 7 osservabili sensibili



# $H \rightarrow ZZ^{(*)} \rightarrow 4\ell$ : misura di spin-parità (II)

## Specifiche dell'analisi

- Usa la stessa selezione degli eventi e le stesse stime del fondo dell'analisi principale
- Intervallo  $115 \text{ GeV} < m_{4\ell} < 130 \text{ GeV}$  (**43 eventi osservati**)
- MC per stati di spin  $0^+, 0^-, 1^+, 1^-, 2^+, 2^-$ , con il generatore JHU
- Produzione stati:
  - ggF, qq,
  - 5 misture gg/qq, fqq  $\in \{0\%, 25\%, 50\%, 75\%, 100\%\}$
- 2 regioni in massa: +5% di sensibilità
  - alto S/B: [121-127] GeV
  - basso S/B: [115-121 & 127-130] GeV

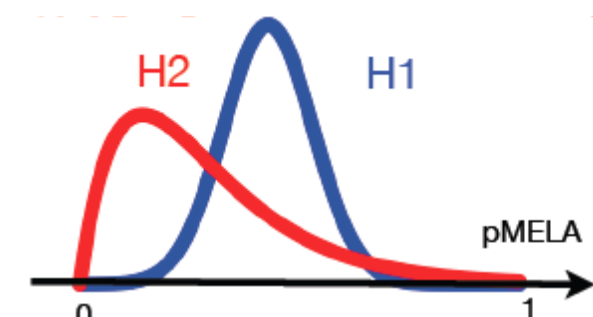
### Incertezze sistematiche

- ✗ Sorgenti di sistematiche dovute all'identificazione dei leptoni, stima della normalizzazione ( $N$ ) e distribuzione del fondo;
- ✗ 1%:  $N$  nell'intervallo alto S/B dovuto al  $p_T$ -reweighting della generazione JHU;
- ✗ 10%: migrazione degli eventi tra i 2 intervalli di massa dovuta all'electron energy scale e alla risoluzione;
- ✗ 10%: migrazione dovuta a possibili variazioni della massa, assunta 125 GeV

# $J^P$ -MELA

- Si definisce il discriminante  $J^P$ -MELA come:

$$J^P - MELA(\vec{x}) = \frac{P(H_1, \vec{x})}{P(H_1, \vec{x}) + P(H_2, \vec{x})}$$



dove  $P(H_i, \mathbf{x})$  è la probabilità di ottenere un evento di tipo  $H_i$ , dato il vettore di osservabili  $\mathbf{x}$ , che definisce la cinematica completa dell'evento.

- Il test statistico utilizzato è il log-likelihood ratio delle likelihood  $\log[L(H_2)/L(H_1)]$ , con  $L = \prod_{ij} \text{Poiss}(N_{\text{data}}^{ij} | \mathcal{P}^{ij})$  e

$$\begin{aligned} \mathcal{P}^{ij} = & \mu^{\text{signal}} \mathcal{L} f_i^{\text{signal}} N_{\text{signal}} \left[ \varepsilon \cdot \text{PDF}_{\text{signal } 1}^{ij} + (1 - \varepsilon) \cdot \text{PDF}_{\text{signal } 2}^{ij} \right] \\ & + \sum_{\text{backgrounds } (k)} f_i^{\text{background } k} N_{\text{background } k} \text{PDF}_{\text{background } k}^{ij}, \end{aligned}$$

dove  $\varepsilon=0$  corrisponde all'ipotesi nulla  $H_1$  ed  $\varepsilon=1$  a quella alternativa  $H_2$ .  $i$  e  $j$  corrispondono all' $i$ -simo S/B bin (in  $m_{4\ell}$ ), e al  $j$ -simo bin del discriminante  $J^P$ -MELA.

- $\text{PDF}_{\text{signal } n}$  è la distribuzione 8D in una data ipotesi di spin  $n$ , definita come:

$$\text{PDF}_S(m_{4\ell}, m_{Z_1}, m_{Z_2}, \vec{\Omega} | g_1, \dots g_{10}, f_{z_0}, \dots f_{z_2}) = f_{RP} \text{PDF}_{RP}(m_{4\ell}, m_{Z_1}, m_{Z_2}, \vec{\Omega} | g_1, \dots g_{10}, f_{z_0}, \dots f_{z_2}) \cdot \text{Acc}_{RP}(\vec{\Omega}) + (1 - f_{RP}) \text{PDF}_{WP}(m_{4\ell}, m_{Z_1}, m_{Z_2}, \vec{\Omega})$$

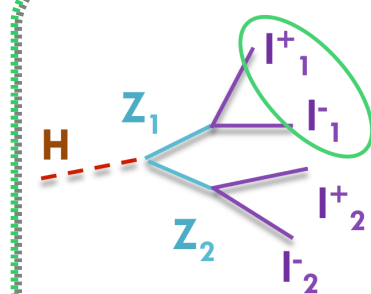
$$\text{PDF}_{RP}(m_{4\ell}, m_{Z_1}, m_{Z_2}, \vec{\Omega} | g_1, \dots g_{10}, f_{z_0}, \dots f_{z_2}) = \text{PDF}(m_{4\ell}) \text{PDF}_{RP}(m_{Z_1}, m_{Z_2}, \vec{\Omega} | g_1, \dots g_{10}, f_{z_0}, \dots f_{z_2})$$

GP

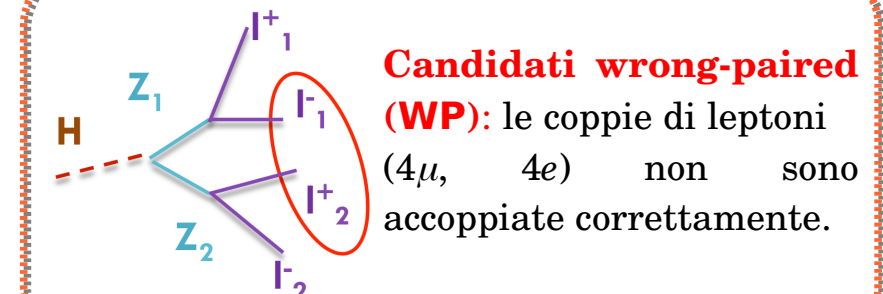
$$\text{PDF}_{WP}(m_{4\ell}, m_{Z_1}, m_{Z_2}, \vec{\Omega}) = \text{PDF}(m_{4\ell}) \text{PDF}_{WP}(m_{Z_1}, m_{Z_2}) \text{PDF}_{WP}(\vec{\Omega})$$

WP

correzione di accettanza che tiene conto dell'effetto della risoluzione del rivelatore



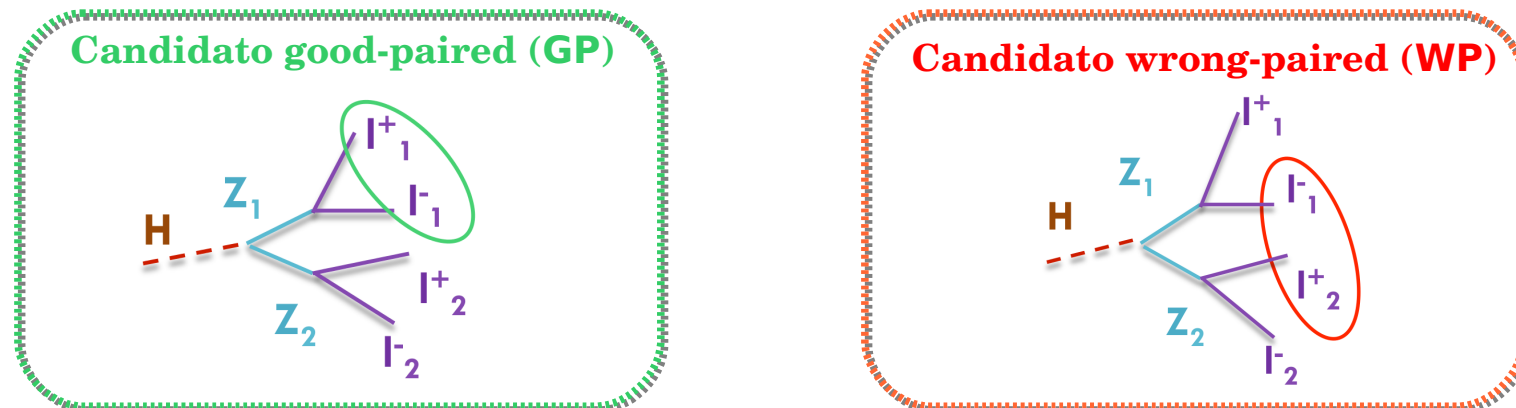
**Candidati good-paired (GP):** le due coppie di leptoni vengono correttamente associate alle rispettive Z.



**Candidati wrong-paired (WP):** le coppie di leptoni ( $4\mu$ ,  $4e$ ) non sono accoppiate correttamente.

Una serie di pseudo-esperimenti vengono generati per costruire le distribuzioni del discriminante nelle due ipotesi di spin.

# $J^P$ -MELA: il mis-pairing



## Frazione di eventi WP

Sample	fraction of mis-paired candidates	
channel	$4\mu$	$4e$
Powheg ggH125	$9.4 \pm 0.4$	$11.0 \pm 0.7$
JHU ggH125 0p	$9.2 \pm 0.5$	$10.9 \pm 0.7$
JHU ggH125 0m	$13.5 \pm 0.6$	$13.9 \pm 0.8$
JHU qqH125 1p	$3.5 \pm 0.3$	$4.1 \pm 0.5$
JHU qqH125 1m	$6.8 \pm 0.3$	$6.9 \pm 0.5$
JHU ggH125 2p	$6.3 \pm 0.4$	$6.5 \pm 0.5$
JHU qqH125 2p	$6.0 \pm 0.4$	$6.5 \pm 0.6$
JHU ggH125 2m	$16.7 \pm 0.6$	$15.9 \pm 0.8$
JHU qqH125 2m	$13.2 \pm 0.7$	$16.8 \pm 1.3$
Powheg ZZ	$17.8 \pm 0.3$	$16.4 \pm 0.4$

- $f_{RP}$  rappresenta la frazione di candidati right-paired (RP), calcolata utilizzando le simulazioni MC.
- La frazione di candidati RP non dipende dallo spin.

# $J^P$ -MELA: Accettanze GP

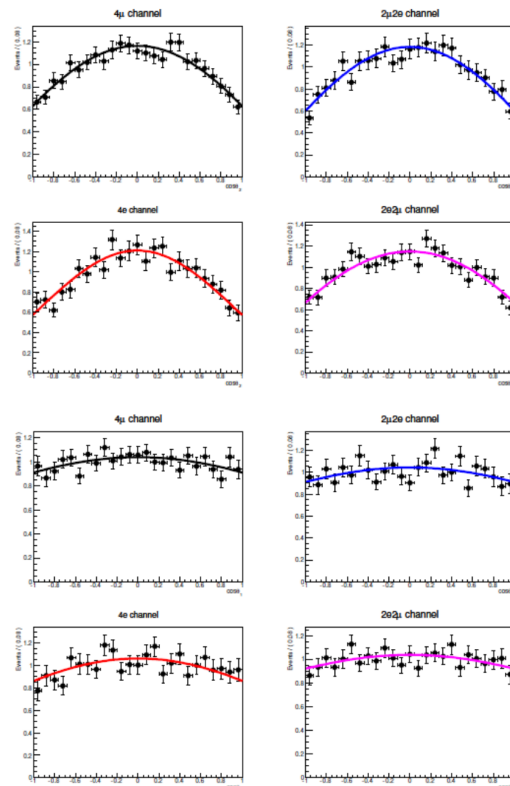
Nuova definizione di accettanza per gli eventi GP

$$Acc_{GP} = \frac{GP \text{ MC reco events}}{GP \text{ MC truth events}}$$

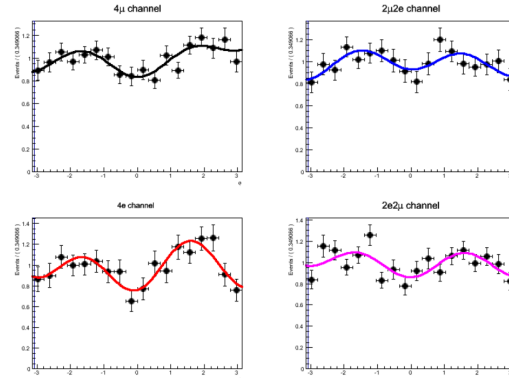


$$Acc_{GP} = \frac{GP \text{ MC reco events}}{GP \text{ pdf events}}$$

Il nuovo approccio porta ad un miglioramento nell'accordo tra la PDF MELA e le distribuzioni MC.



- Utilizzo di **metà della statistica** della simulazione MC **per evitare bias**
- Si assume che le variabili angolari non siano correlate
- Viene effettuato un fit sugli histogrammi con delle funzioni empiriche

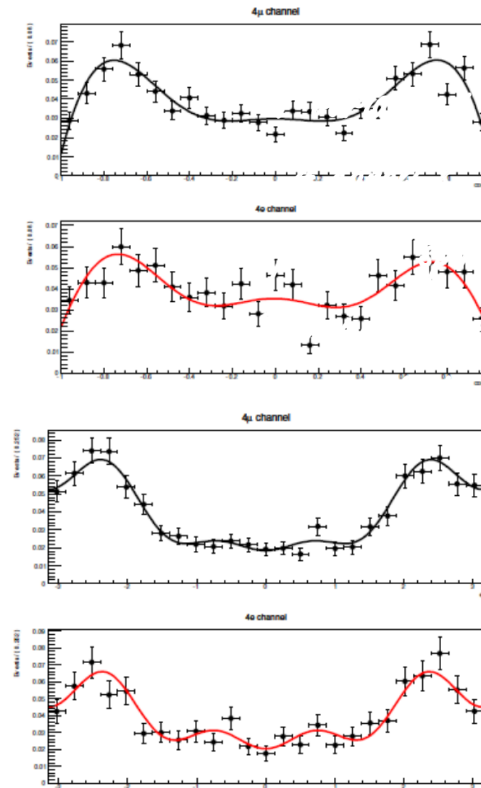
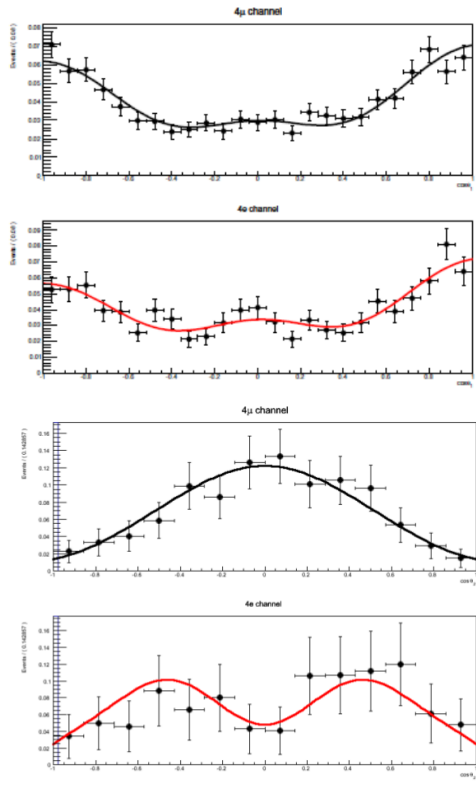


7 variabili x  
4 canali x  
6 ipotesi di spin x  
2 anni di dati =  
340 fit!

# $J^P$ -MELA: PDF WP

Nuovo approccio per gli eventi WP: costruzione di una  $\text{PDF}_{\text{WP}}$  per definire l'accettanza WP.

$$Acc_{WP} = \frac{WP \text{ MC reco events}}{WP \text{ pdf events}}$$



- Utilizzo di **metà della statistica** della simulazione MC **per evitare bias**
- Si assume che le variabili angolari non siano correlate
- Viene effettuato un fit sugli istogrammi con delle funzioni empiriche

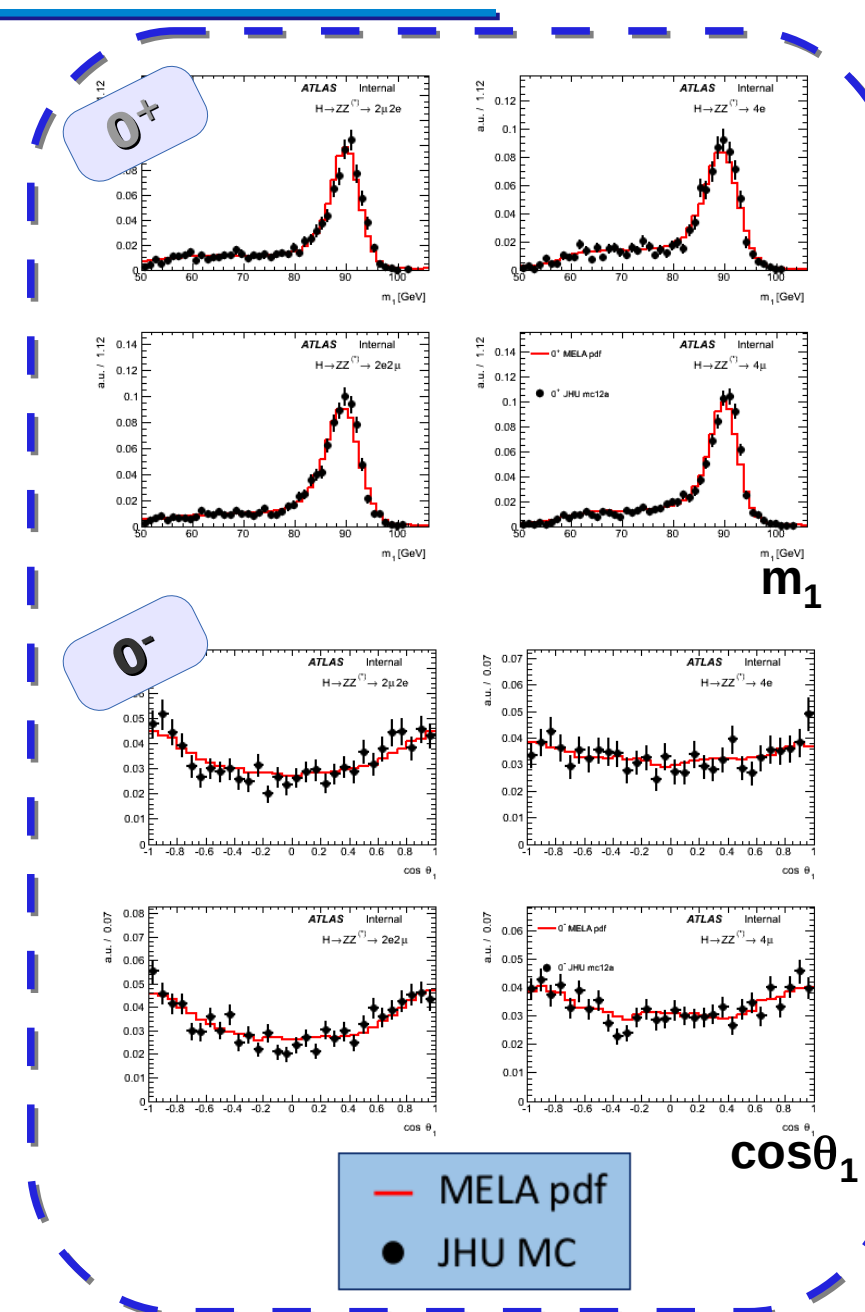




# $J^P$ -MELA: Closure test

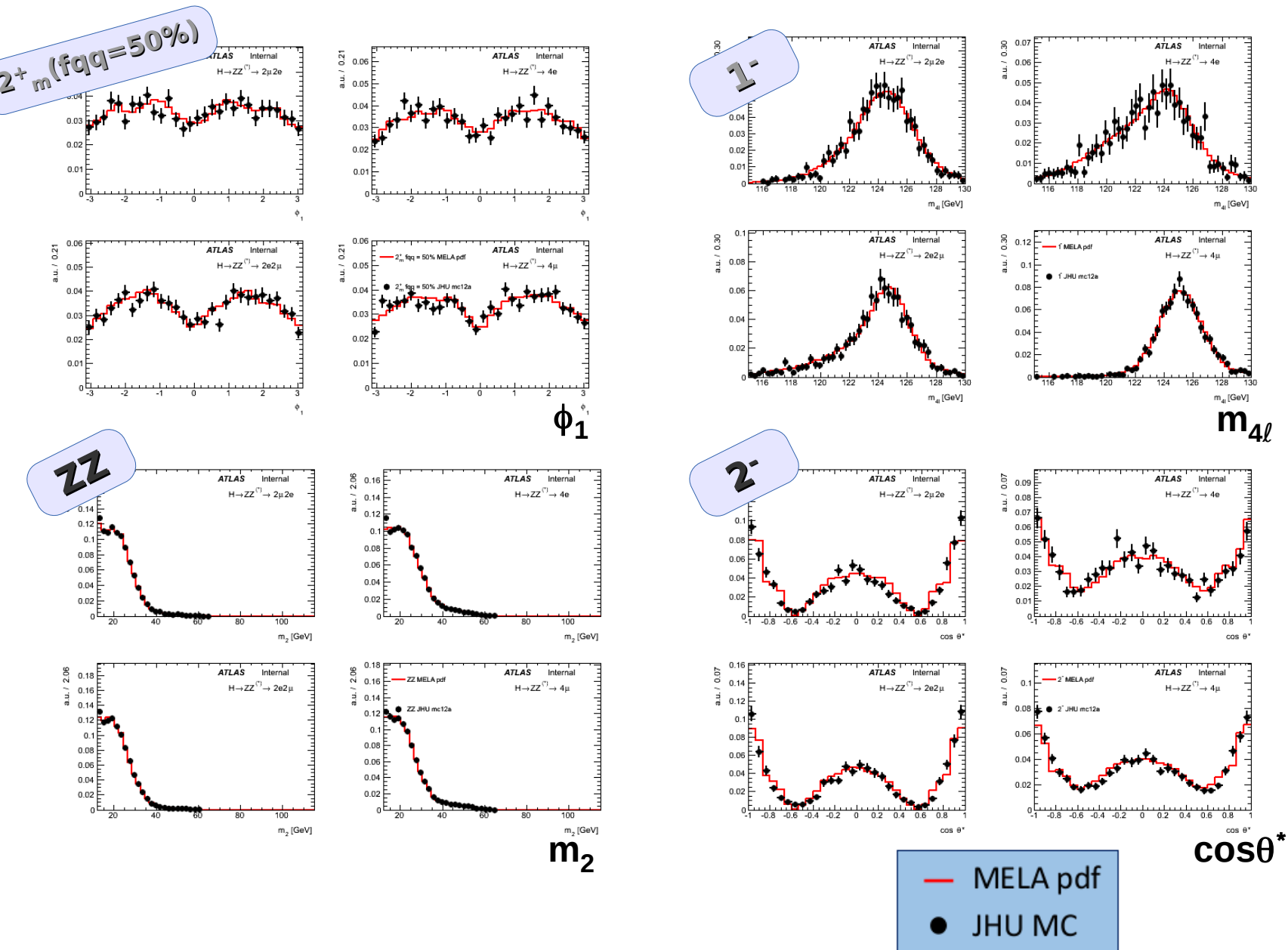
Si effettua un "closure test" per verificare la validità delle assunzioni fatte:

- a partire dalla PDF 8-dimensionale si proietta la likelihood sulla variabile interessata (ottenendo una funzione 1D)
- $\frac{1}{2}$  statistica MC utilizzata per parametrizzare le funzioni di accettanza
- $\frac{1}{2}$  statistica MC usata per testare la metodologia usata
- Nessun bias





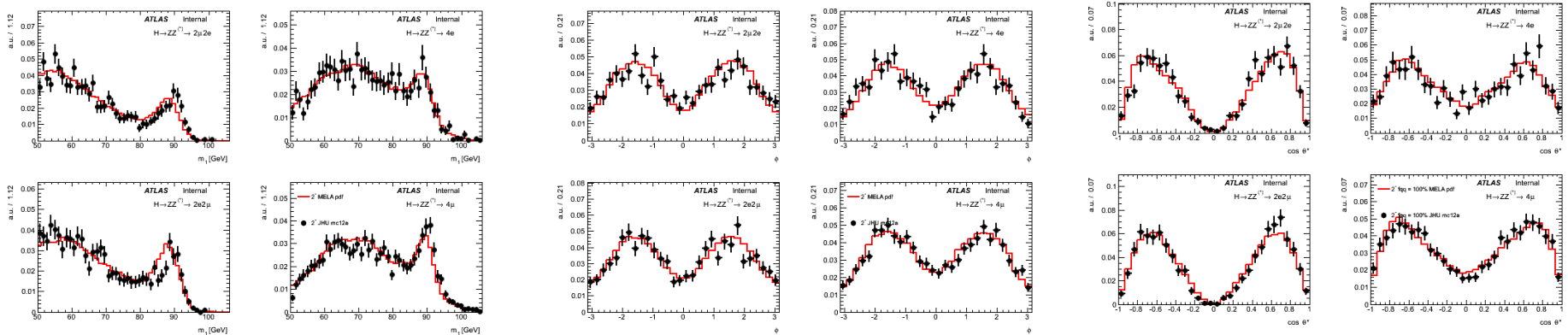
# $J^P$ -MELA: Closure test



# $J^P$ -MELA: Ottimizzazioni

## PANORAMICA

- Aggiunto il caso di spin  $2^-_h$  all'analisi  
i closure test sono in buon accordo



- Nuova definizione di accettanza per gli eventi GP

$$Acc_{GP} = \frac{GP \text{ MC reco events}}{GP \text{ MC truth events}}$$



$$Acc_{GP} = \frac{GP \text{ MC reco events}}{GP \text{ pdf events}}$$

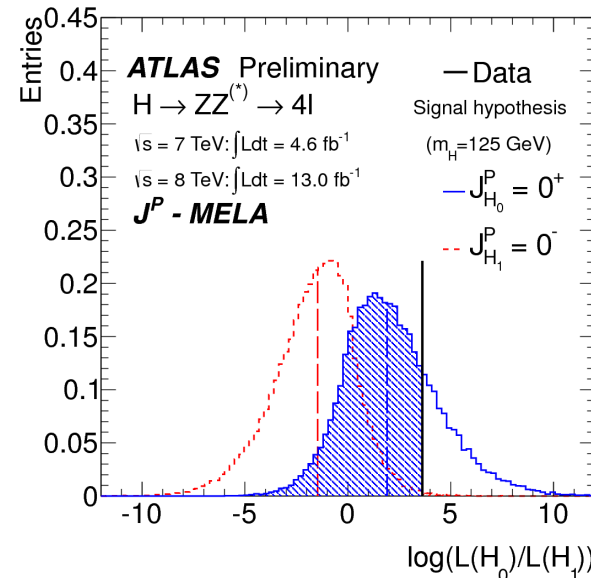
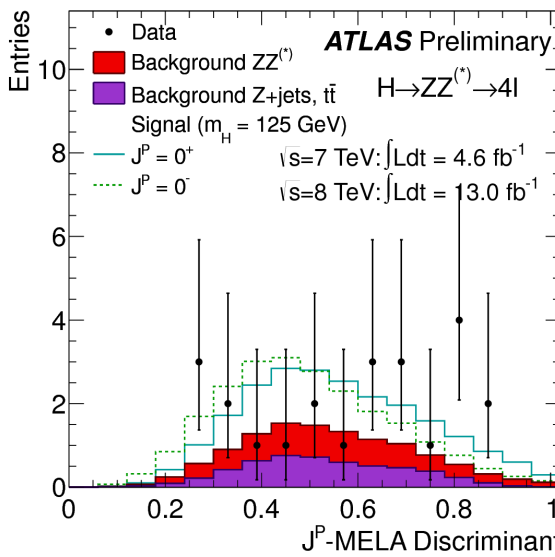
Già pronti i fit delle accettanze con la nuova definizione, sia per i dati 2011 che 2012.

- Nuovo approccio per gli eventi WP  
costruzione di una PDF<sub>WP</sub>§

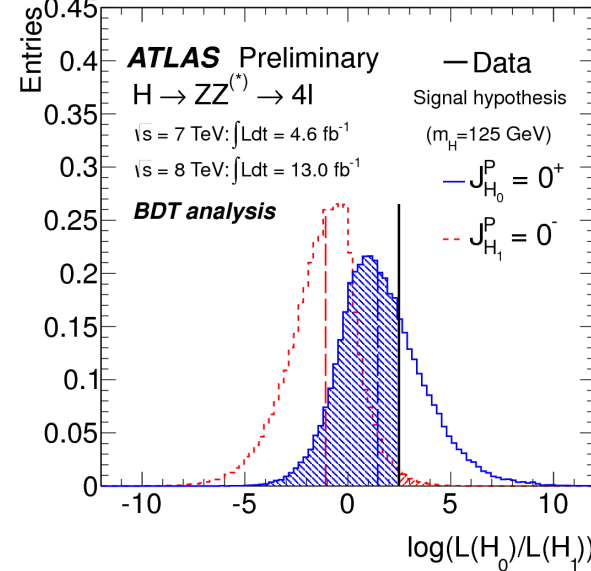
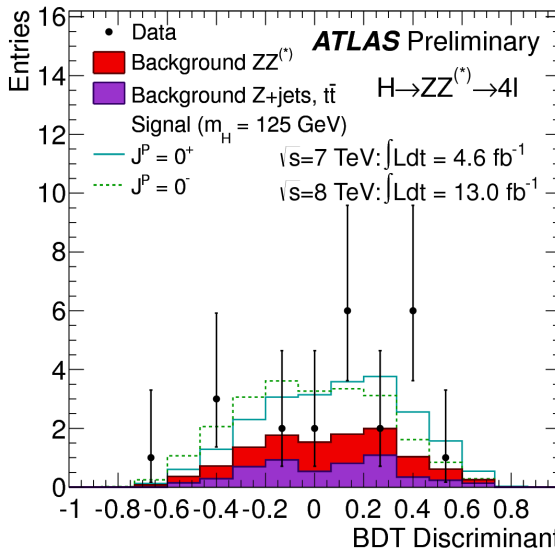
$$Acc_{WP} = \frac{WP \text{ MC reco events}}{WP \text{ pdf events}}$$

# $H \rightarrow ZZ^{(*)} \rightarrow 4\ell$ : Risultati ufficiali ( $0^+$ vs $0^-$ )

## $J^P$ -MELA



## BDT



**Il bosone di Higgs è compatibile con l'ipotesi SM**

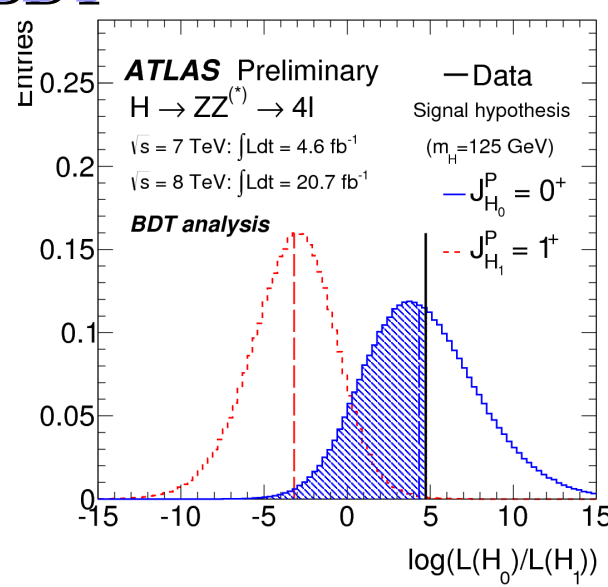
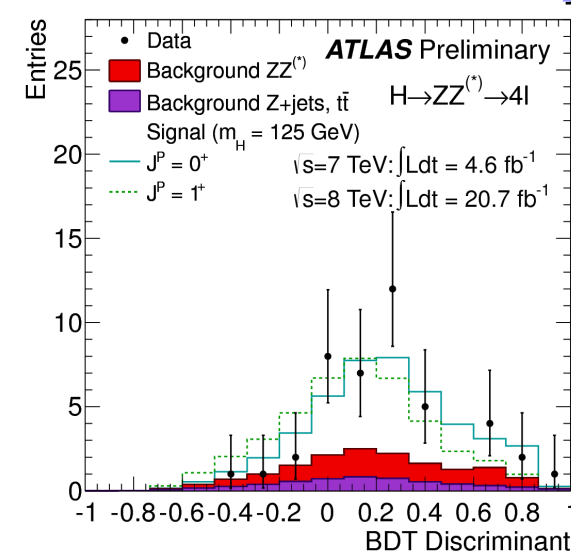
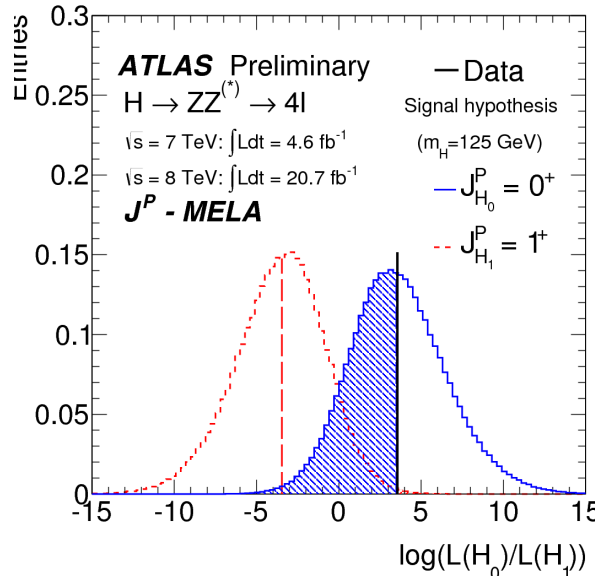
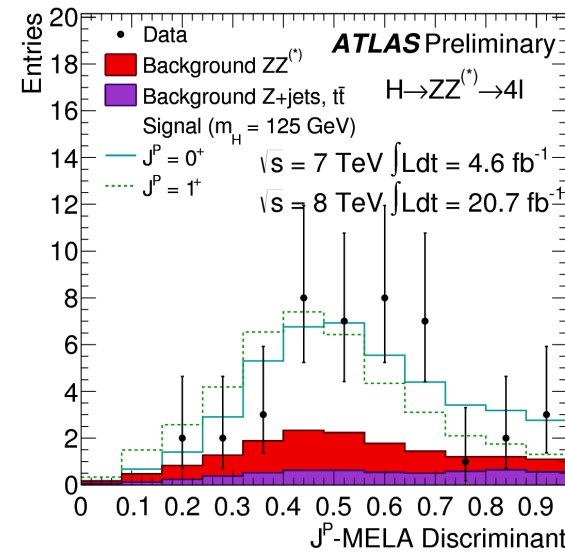
L'ipotesi di spin  $0^+$  è favorita rispetto a  $0^-$ , con una separazione osservata (aspettata)

**$J^P$ -MELA:**  $2.8\sigma$  ( $3.1\sigma$ )  
**BDT:**  $2.2\sigma$  ( $2.7\sigma$ )

Ipotesi  $0^-$  esclusa al 99.6% CL<sub>S</sub>

# $H \rightarrow ZZ^{(*)} \rightarrow 4\ell$ : Risultati ufficiali ( $0^+$ vs $1^+$ )

## $J^P$ -MELA



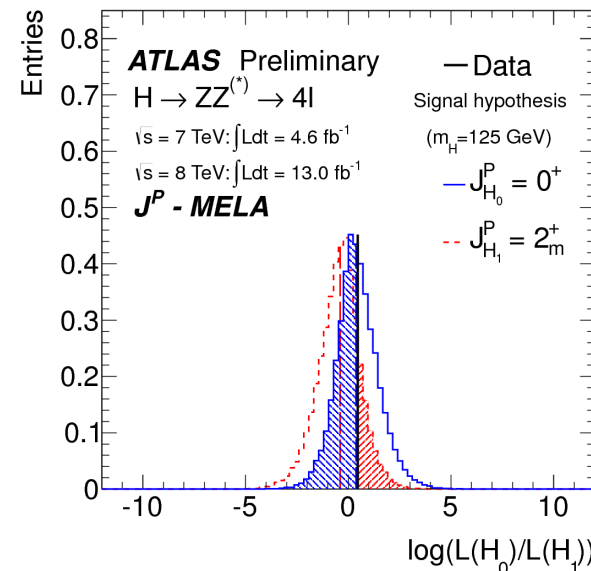
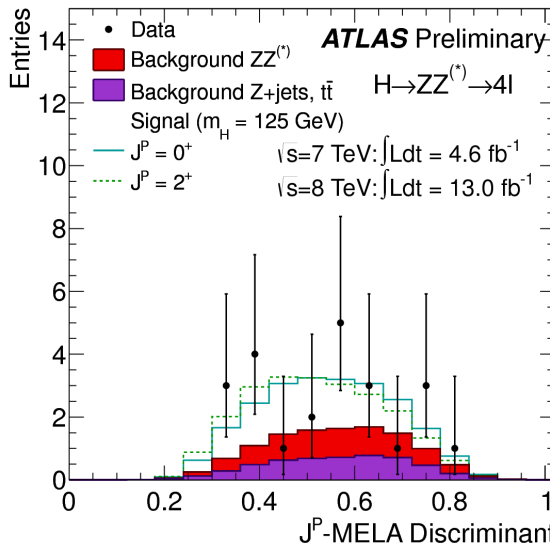
L'ipotesi di spin  $0^+$  è favorita rispetto a  $1^+$ , con una separazione osservata (aspettata)

**$J^P$ -MELA:**  $2.8\sigma$  ( $2.8\sigma$ )  
**BDT:**  $3.1\sigma$  ( $2.9\sigma$ )

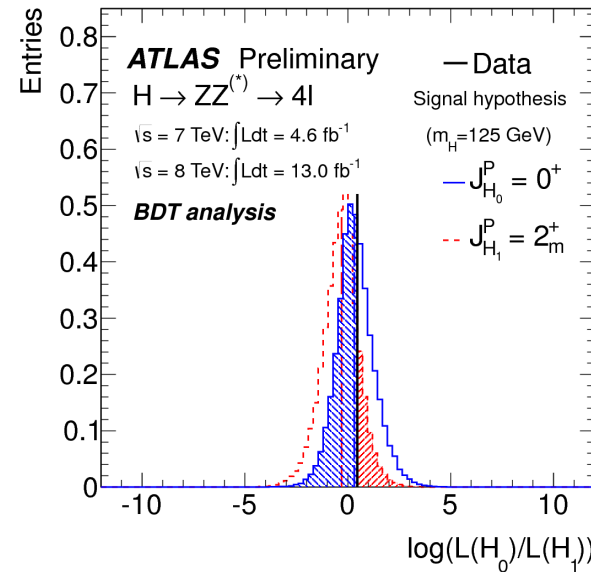
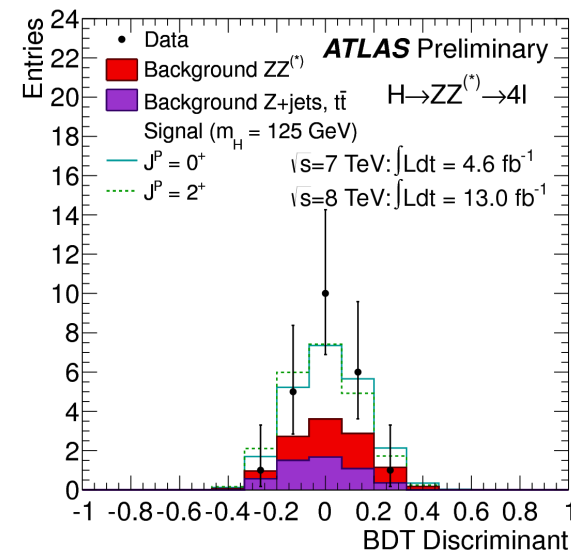
Ipotesi  $1^+$  esclusa al 99.4% CL<sub>S</sub>

# $H \rightarrow ZZ^{(*)} \rightarrow 4\ell$ : Risultati ufficiali ( $0^+$ vs $2^+_m(gg)$ )

## $J^P$ -MELA



## BDT



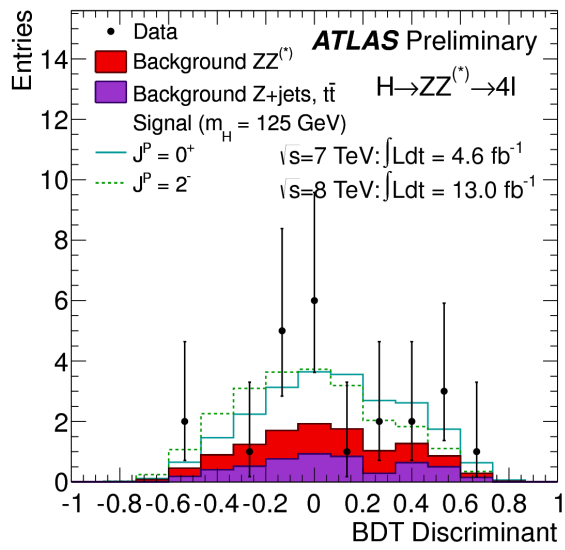
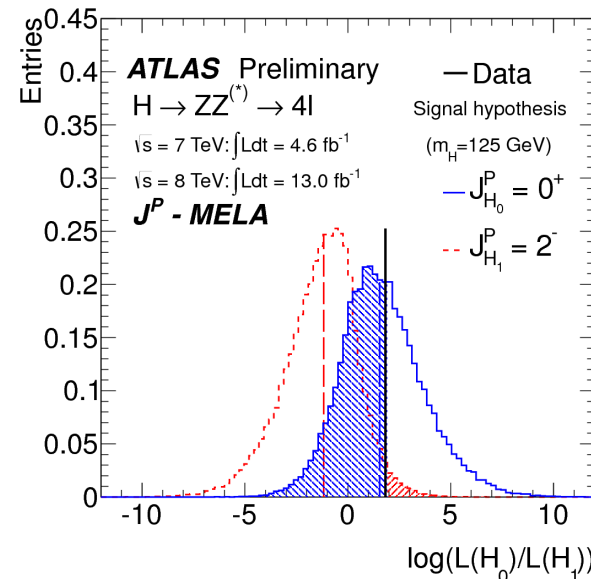
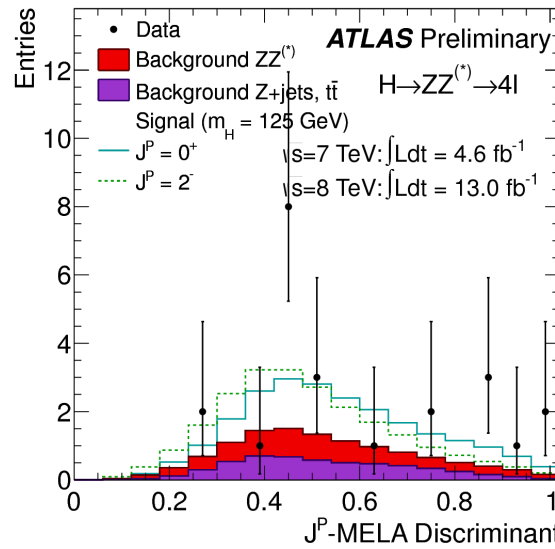
L'ipotesi di spin  $0^+$  è favorita rispetto a  $2^+_m(gg)$ , con una separazione osservata (aspettata)

**$J^P$ -MELA:**  $1.2\sigma$  ( $1.5\sigma$ )  
**BDT:**  $1.4\sigma$  ( $1.3\sigma$ )

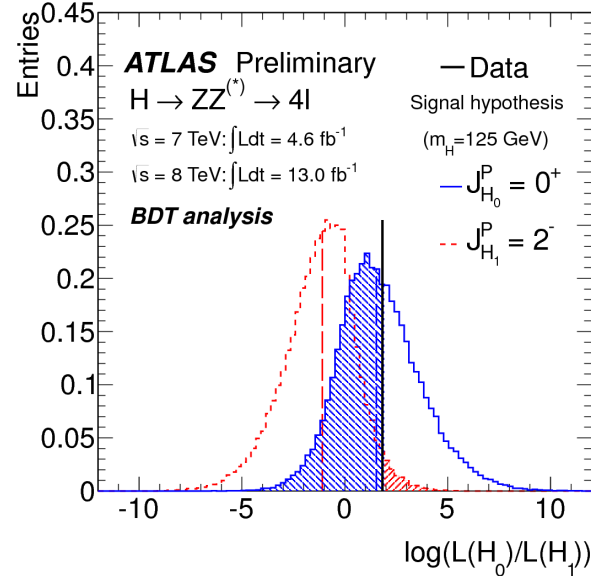
Ipotesi  $2^+_m(gg)$  esclusa al 81.8% CL<sub>S</sub>

# $H \rightarrow ZZ^{(*)} \rightarrow 4\ell$ : Risultati ufficiali (0<sup>+</sup> vs 2<sup>-</sup>(gg))

## $J^P$ -MELA



## BDT

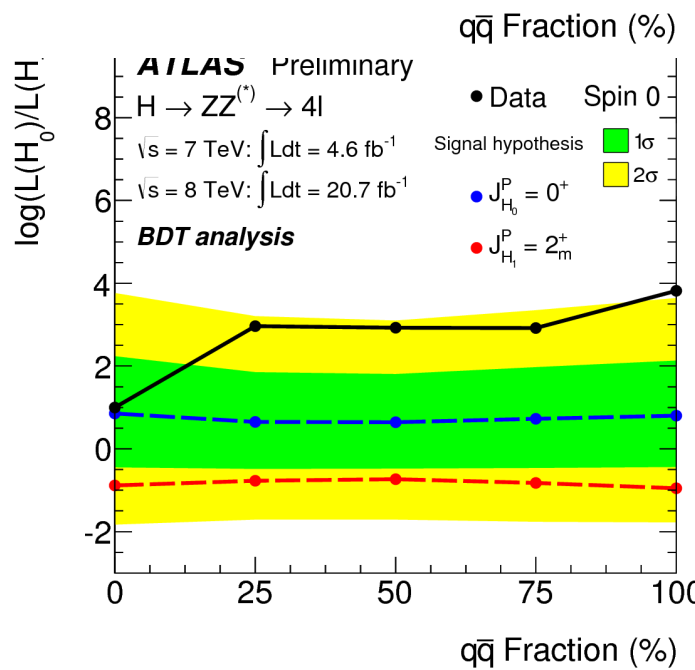
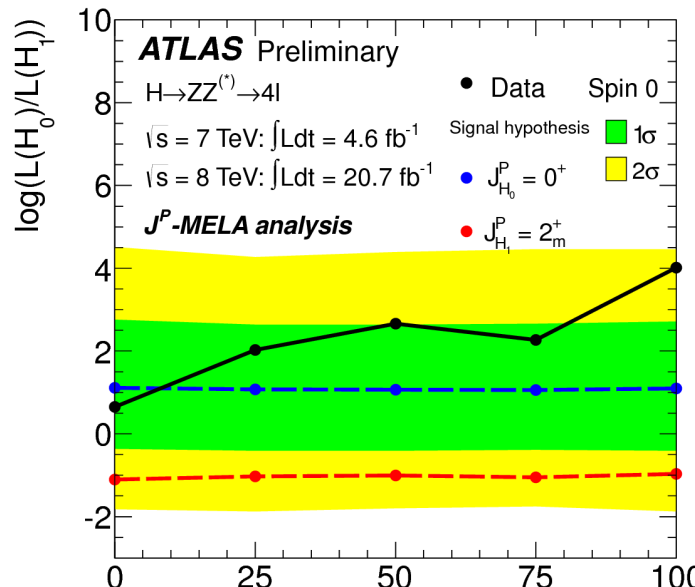


L'ipotesi di spin 0<sup>+</sup> è favorita rispetto a 2<sup>-</sup>(gg), con una separazione osservata (aspettata)

**$J^P$ -MELA:**  $1.2\sigma$  ( $2.7\sigma$ )  
**BDT:**  $0.7\sigma$  ( $2.5\sigma$ )

Ipotesi 2<sup>-</sup>(gg) esclusa al 88.4% CL<sub>S</sub>

# $H \rightarrow ZZ^{(*)} \rightarrow 4\ell$ : Risultati ufficiali ( $0^+$ vs $2^+_m$ (gg/qq) )



Andamento delle mediane delle distribuzioni generate per varie miscele di stati  $2^+_m$ .

Anche in questo caso l'ipotesi di spin  $0^+$  è favorita rispetto alle ipotesi di stati misti  $2^+_m$ .



# $H \rightarrow ZZ^{(*)} \rightarrow 4\ell$ : Risultati ufficiali ( $J^P$ -MELA)

~50000 toys generati

$p_0$ -value

(numero di  $\sigma$  di separazione)

tested assumed	0 <sup>+</sup>	0 <sup>-</sup>	1 <sup>+</sup>	1 <sup>-</sup>	2 <sub>m</sub> <sup>+</sup>	2 <sup>-</sup>
0 <sup>+</sup>	-	$0.38 \pm 0.00$ ( $0.31 \pm 0.01$ )	$0.46 \pm 0.00$ ( $0.10 \pm 0.01$ )	$0.10 \pm 0.00$ ( $1.28 \pm 0.01$ )	$0.35 \pm 0.00$ ( $0.38 \pm 0.01$ )	$0.07 \pm 0.00$ ( $1.47 \pm 0.01$ )
0 <sup>-</sup>	$0.00 \pm 0.00$ ( $2.85 \pm 0.03$ )	-	$0.07 \pm 0.00$ ( $1.46 \pm 0.01$ )	$0.01 \pm 0.00$ ( $2.36 \pm 0.02$ )	$0.04 \pm 0.00$ ( $1.76 \pm 0.01$ )	$0.19 \pm 0.00$ ( $0.88 \pm 0.01$ )
1 <sup>+</sup>	$0.00 \pm 0.00$ ( $2.75 \pm 0.03$ )	$0.02 \pm 0.00$ ( $2.14 \pm 0.01$ )	-	$0.10 \pm 0.00$ ( $1.29 \pm 0.01$ )	$0.02 \pm 0.00$ ( $2.05 \pm 0.01$ )	$0.00 \pm 0.00$ ( $2.97 \pm 0.03$ )
1 <sup>-</sup>	$0.03 \pm 0.00$ ( $1.93 \pm 0.01$ )	$0.12 \pm 0.00$ ( $1.19 \pm 0.01$ )	$0.11 \pm 0.00$ ( $1.22 \pm 0.01$ )	-	$0.03 \pm 0.00$ ( $1.93 \pm 0.01$ )	$0.15 \pm 0.00$ ( $1.02 \pm 0.01$ )
2 <sub>m</sub> <sup>+</sup>	$0.12 \pm 0.00$ ( $1.17 \pm 0.01$ )	$0.19 \pm 0.00$ ( $0.86 \pm 0.01$ )	$0.23 \pm 0.00$ ( $0.75 \pm 0.01$ )	$0.04 \pm 0.00$ ( $1.70 \pm 0.01$ )	-	$0.04 \pm 0.00$ ( $1.70 \pm 0.01$ )
2 <sup>-</sup>	$0.11 \pm 0.00$ ( $1.25 \pm 0.01$ )	$0.06 \pm 0.00$ ( $1.55 \pm 0.01$ )	$0.34 \pm 0.00$ ( $0.41 \pm 0.01$ )	$0.04 \pm 0.00$ ( $1.79 \pm 0.01$ )	$0.10 \pm 0.00$ ( $1.30 \pm 0.01$ )	-

tested assumed	0 <sup>+</sup>	2 <sup>+</sup> (25% $qq$ )	2 <sup>+</sup> (50% $qq$ )	2 <sup>+</sup> (75% $qq$ )	2 <sup>+</sup> (100% $qq$ )
0 <sup>+</sup>	-	$0.71 \pm 0.00$ ( $-0.55 \pm 0.01$ )	$0.83 \pm 0.00$ ( $-0.94 \pm 0.01$ )	$0.76 \pm 0.00$ ( $-0.70 \pm 0.01$ )	$0.95 \pm 0.00$ ( $-1.62 \pm 0.01$ )
2 <sup>+</sup> (25% $qq$ )	$0.02 \pm 0.00$ ( $2.09 \pm 0.01$ )				
2 <sup>+</sup> (50% $qq$ )	$0.01 \pm 0.00$ ( $2.51 \pm 0.02$ )				
2 <sup>+</sup> (75% $qq$ )	$0.01 \pm 0.00$ ( $2.25 \pm 0.02$ )				
2 <sup>+</sup> (100% $qq$ )	$0.00 \pm 0.00$ ( $3.23 \pm 0.05$ )				

tested assumed	0 <sup>+</sup>	2 <sup>-</sup> (25% $qq$ )	2 <sup>-</sup> (50% $qq$ )	2 <sup>-</sup> (75% $qq$ )	2 <sup>-</sup> (100% $qq$ )
0 <sup>+</sup>	-	$0.05 \pm 0.00$ ( $1.68 \pm 0.01$ )	$0.13 \pm 0.00$ ( $1.12 \pm 0.01$ )	$0.13 \pm 0.00$ ( $1.11 \pm 0.01$ )	$0.24 \pm 0.00$ ( $0.72 \pm 0.01$ )
2 <sup>-</sup> (25% $qq$ )	$0.15 \pm 0.00$ ( $1.04 \pm 0.01$ )				
2 <sup>-</sup> (50% $qq$ )	$0.08 \pm 0.00$ ( $1.40 \pm 0.01$ )				
2 <sup>-</sup> (75% $qq$ )	$0.07 \pm 0.00$ ( $1.46 \pm 0.01$ )				
2 <sup>-</sup> (100% $qq$ )	$0.02 \pm 0.00$ ( $2.05 \pm 0.01$ )				



# Conclusioni

- ⊕ **Status dell'analisi:** i risultati dei test d'ipotesi più recenti e ottimizzati stanno girando su grid
- ⊕ Tempo stimato per il processamento dei dati su grid:  $\sim 10$  giorni
- ⊕ **Status della tesi:** capitoli finali quasi completi

## Prospettive

- ⊕ Ulteriori ottimizzazioni delle accettanze good-pair (GP) e wrong-pair (WP), 2011 e 2012.



# Backup



# $H \rightarrow ZZ^{(*)} \rightarrow 4\ell$ : Risultati

BDT					$J^P$ -MELA				
$J^P$	attesi	Osservati $0^+$	Osservati $J^P$	$CL_s$	attesi	Osservati $0^+$	Osservati $J^P$	$CL_s$	
$0^-$	$2.7\sigma$	$0.5\sigma$	$2.2\sigma$	0.022	$3.1\sigma$	$0.2\sigma$	$2.8\sigma$	0.004	
$1^+$	$2.7\sigma$	$1.0\sigma$	$1.6\sigma$	0.060	$3.1\sigma$	$1.2\sigma$	$1.9\sigma$	0.031	
$1^-$	$2.9\sigma$	$-0.1\sigma$	$3.1\sigma$	0.002	$2.7\sigma$	$0.0\sigma$	$2.8\sigma$	0.006	
$2^-_{\text{m}}(\text{gg})$	$1.3\sigma$	$-0.1\sigma$	$1.4\sigma$	0.168	$1.5\sigma$	$0.3\sigma$	$1.2\sigma$	0.182	
$2^-(\text{gg})$	$2.5\sigma$	$1.8\sigma$	$0.7\sigma$	0.258	$2.7\sigma$	$1.4\sigma$	$1.2\sigma$	0.116	



# $H \rightarrow ZZ^{(*)} \rightarrow 4\ell$ : Risultati ( BDT)

~50000 toys generati

$p_0$ -value

(numero di  $\sigma$  di separazione)

Tested	Assumed					
	0 <sup>+</sup>	0 <sup>-</sup>	1 <sup>+</sup>	1 <sup>-</sup>	2 <sup>+</sup> <sub>m</sub>	2 <sup>-</sup>
0 <sup>+</sup>	0.304 (0.51)	0.508 (-0.02)	0.465 (0.09)	0.536 (-0.09)	0.038 (1.77)	
0 <sup>-</sup>	0.013 (2.22)	0.070 (1.47)	0	0.184 (0.90)	0.201 (0.84)	
1 <sup>+</sup>	0.001 (3.05)	0.016 (2.14)		0.000 (3.69)	0.000 (3.38)	0.000 (3.41)
1 <sup>-</sup>	0.004 (2.66)	0	0.944 (-1.59)		0.085 (1.37)	0.014 (2.19)
2 <sup>+</sup> <sub>m</sub>	0.073 (1.45)	0.038 (1.77)	0.571 (-0.18)	0.046 (1.68)		0.007 (2.44)
2 <sup>-</sup>	0.213 (0.80)	0.078 (1.42)	0.368 (0.34)	0.258 (0.65)	0.281 (0.58)	

	2 <sup>+</sup> (0% $q\bar{q}$ )	2 <sup>+</sup> (25% $q\bar{q}$ )	2 <sup>+</sup> (50% $q\bar{q}$ )	2 <sup>+</sup> (75% $q\bar{q}$ )	2 <sup>+</sup> (100% $q\bar{q}$ )
Exclusion of 2 <sup>+</sup> <sub>m</sub> in favor of 0 <sup>+</sup>	0.073 (1.45)	0.002 (2.89)	0.002 (2.89)	0.004 (2.69)	0.001 (3.23)
Exclusion of 0 <sup>+</sup> in favor of 2 <sup>+</sup> <sub>m</sub>	0.536 (-0.09)	0.936 (-1.52)	0.936 (-1.53)	0.905 (-1.31)	0.951 (-1.65)

	2 <sup>-</sup> (0% $q\bar{q}$ )	2 <sup>-</sup> (25% $q\bar{q}$ )	2 <sup>-</sup> (50% $q\bar{q}$ )	2 <sup>-</sup> (75% $q\bar{q}$ )	2 <sup>-</sup> (100% $q\bar{q}$ )
Exclusion of 2 <sup>-</sup> <sub>m</sub> in favor of 0 <sup>+</sup>	0.213 (0.80)	0.437 (0.16)	0.415 (0.22)	0.567 (-0.17)	0.462 (0.09)
Exclusion of 0 <sup>+</sup> in favor of 2 <sup>-</sup>	0.038 (1.77)	0.012 (2.27)	0.019 (2.08)	0.007 (2.46)	0.010 (2.31)



# $H \rightarrow ZZ^{(*)} \rightarrow 4\ell$ : Risultati ( $0^+$ vs $1^-$ )

$J^P$ -MELA

BDT

L'ipotesi di spin  $0^+$  è favorita rispetto a  $1^-$ , con una separazione osservata (aspettata)

$J^P$ -MELA:  $1.9\sigma$  ( $3.1\sigma$ )  
BDT:  $1.6\sigma$  ( $2.7\sigma$ )

Ipotesi  $1^-$  esclusa al 96.9% CL<sub>S</sub>

